

13

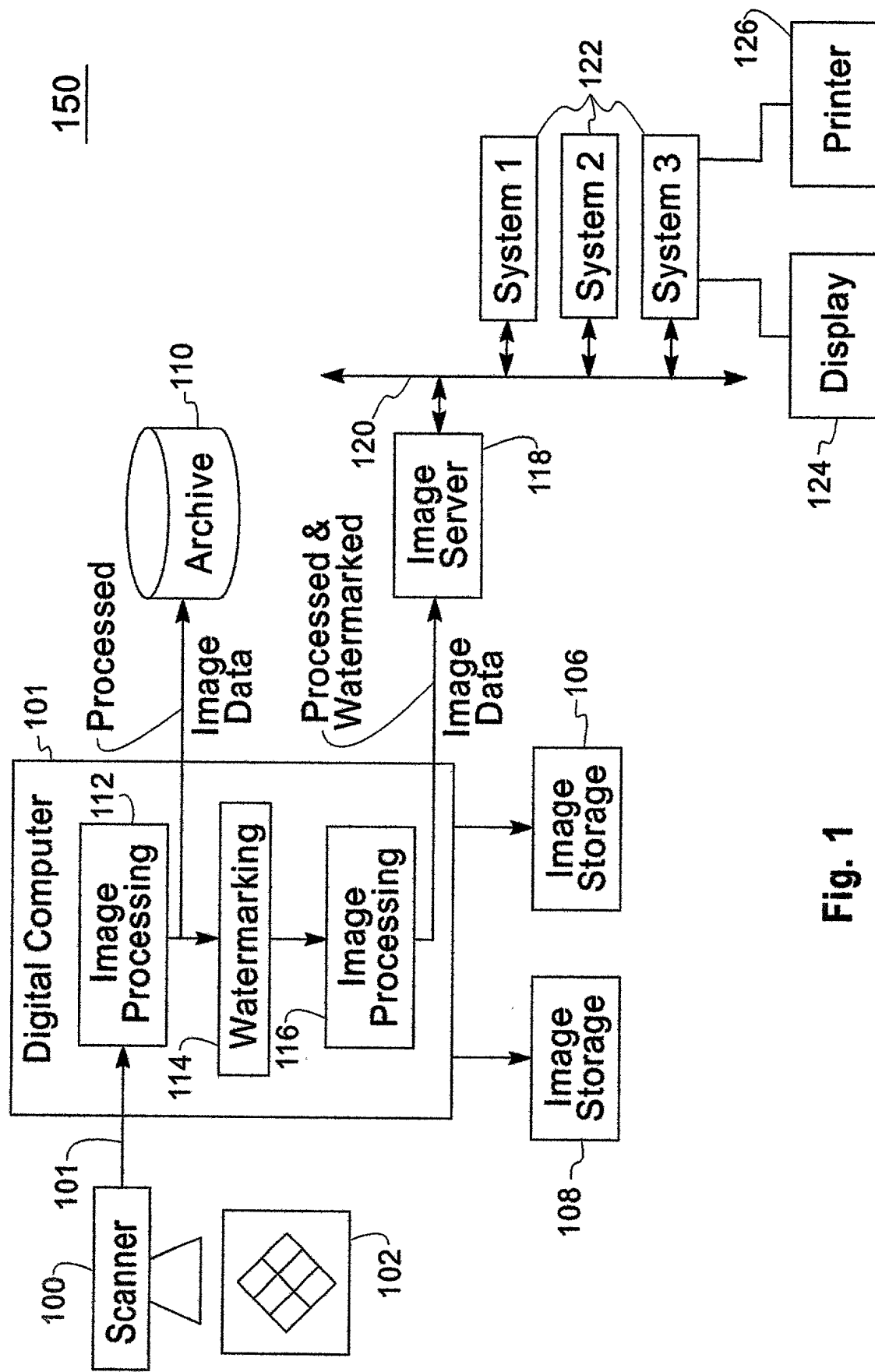


Fig. 1

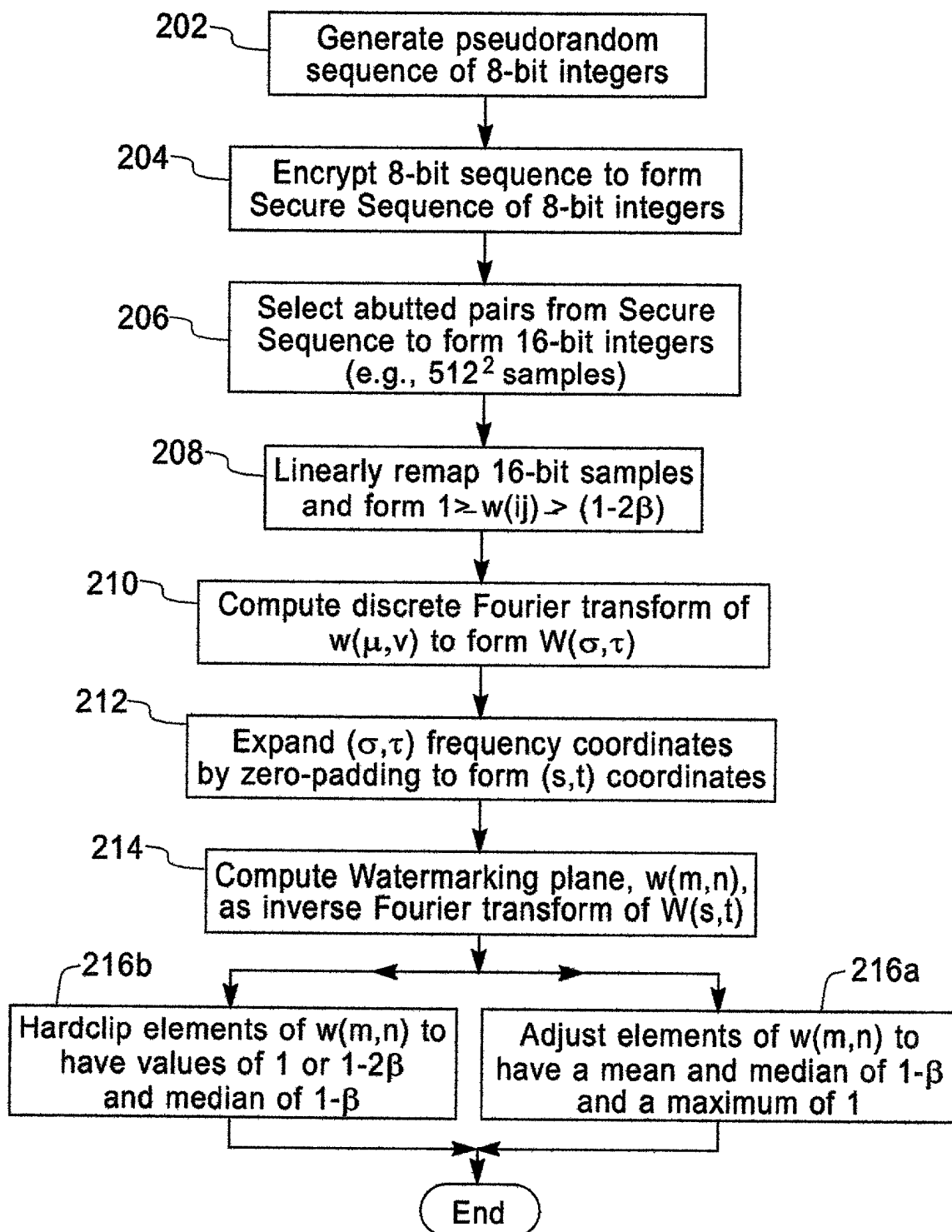


Fig. 2

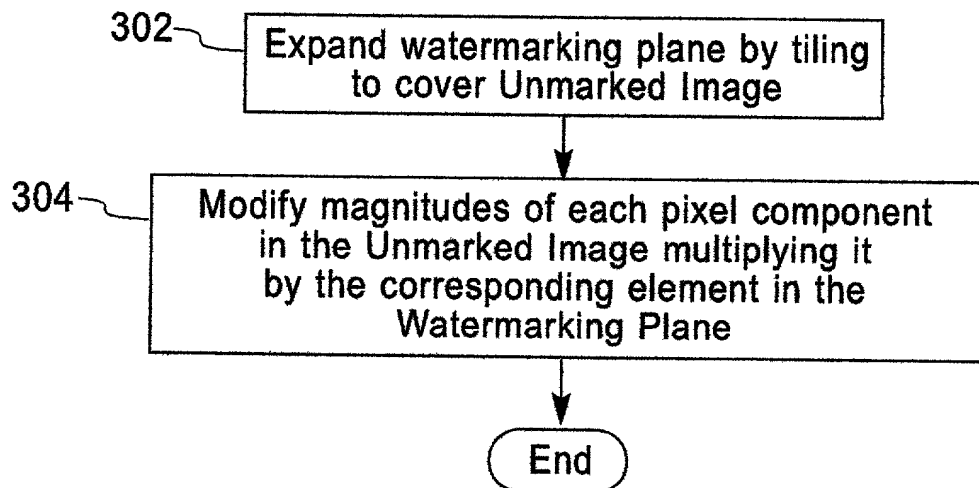


Fig. 3

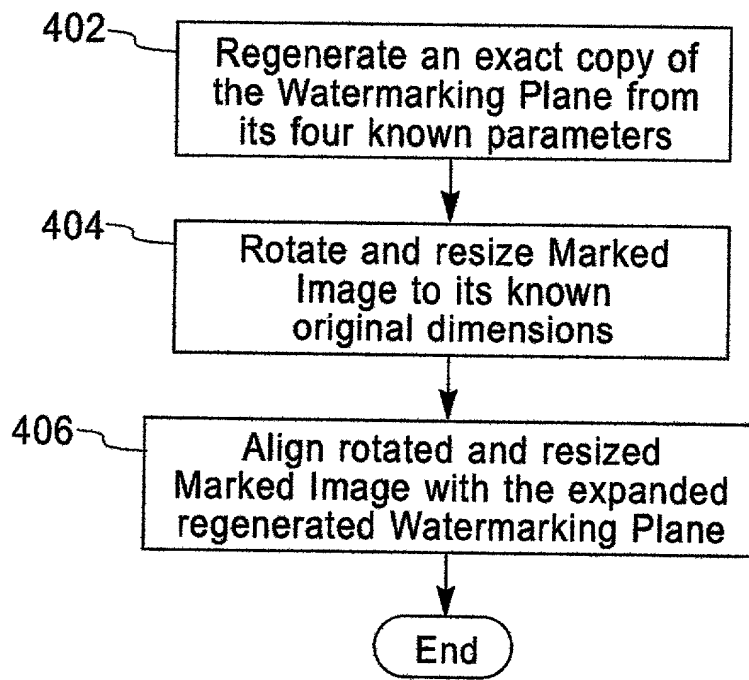


Fig. 4

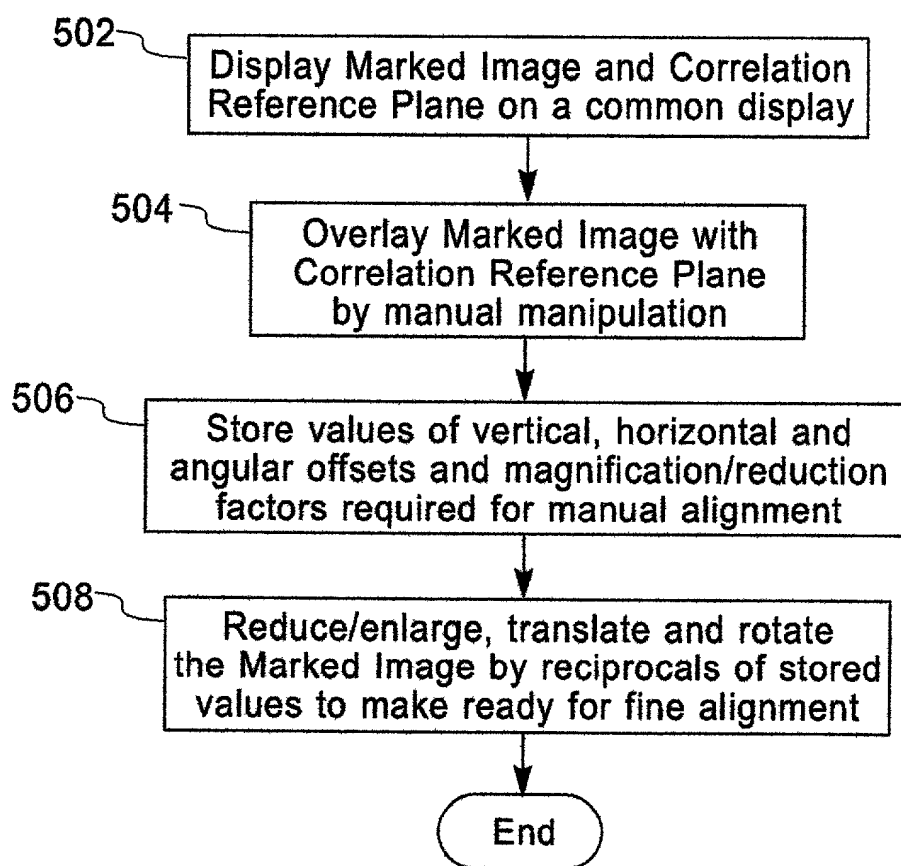


Fig. 5

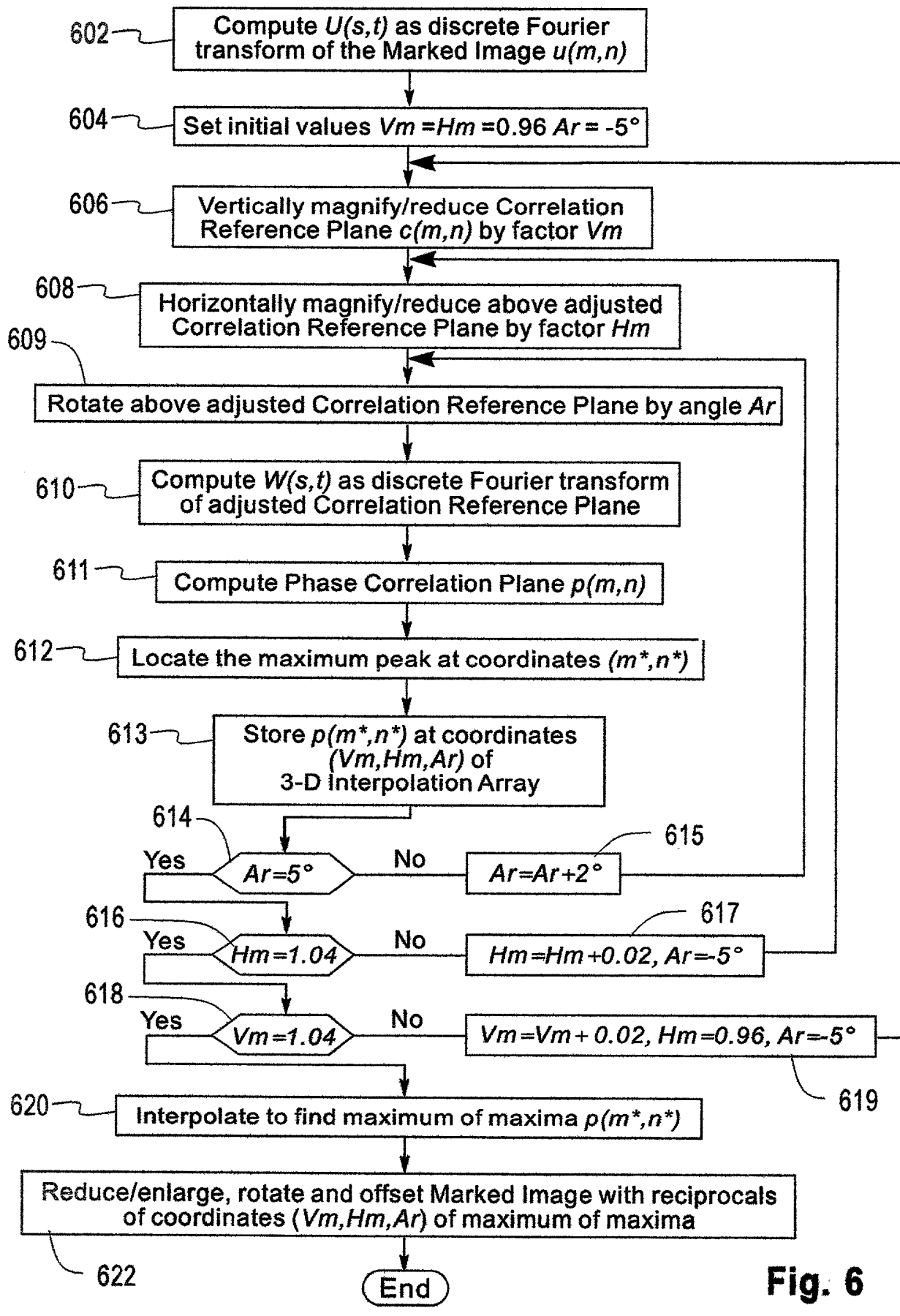


Fig. 6

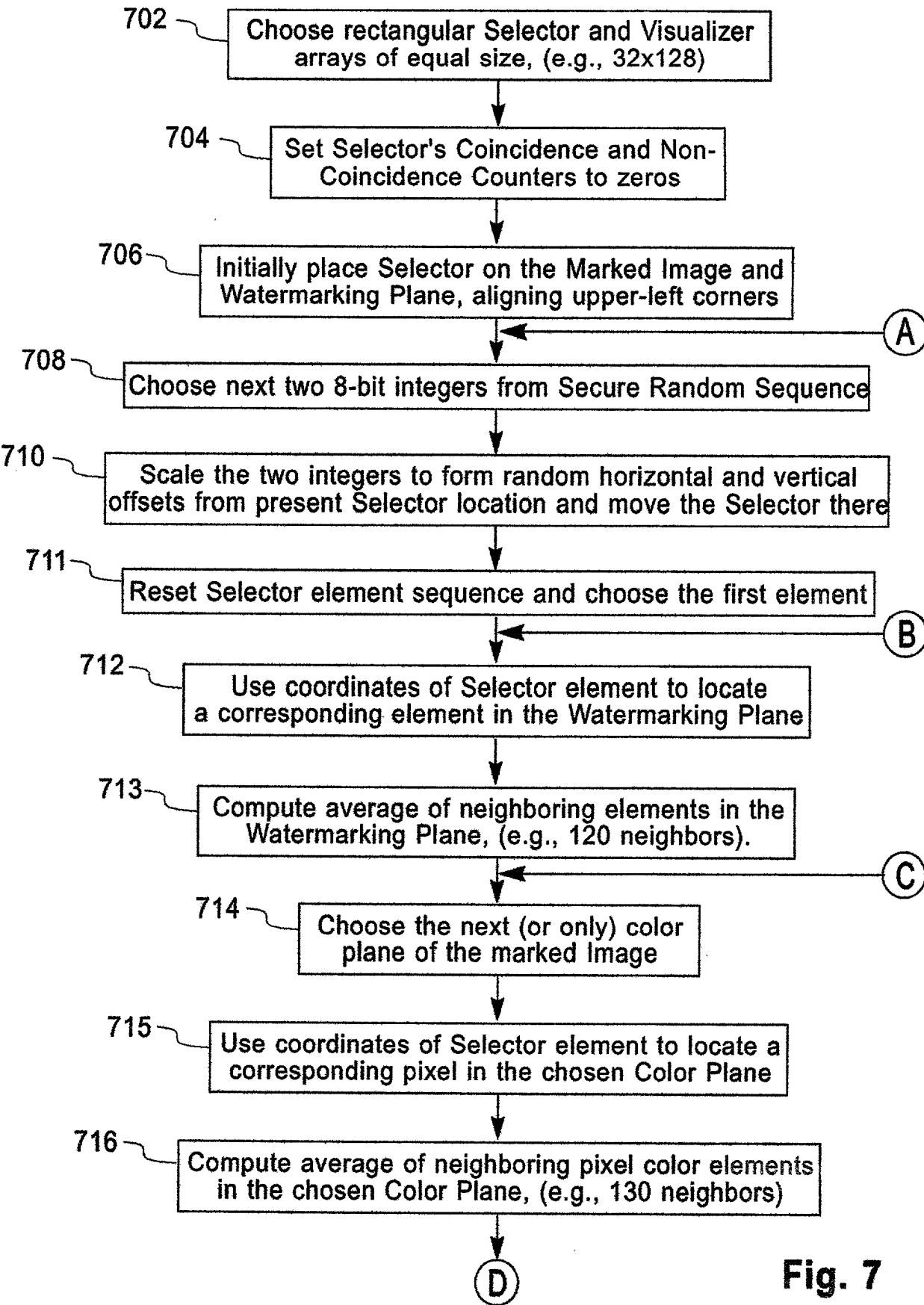


Fig. 7

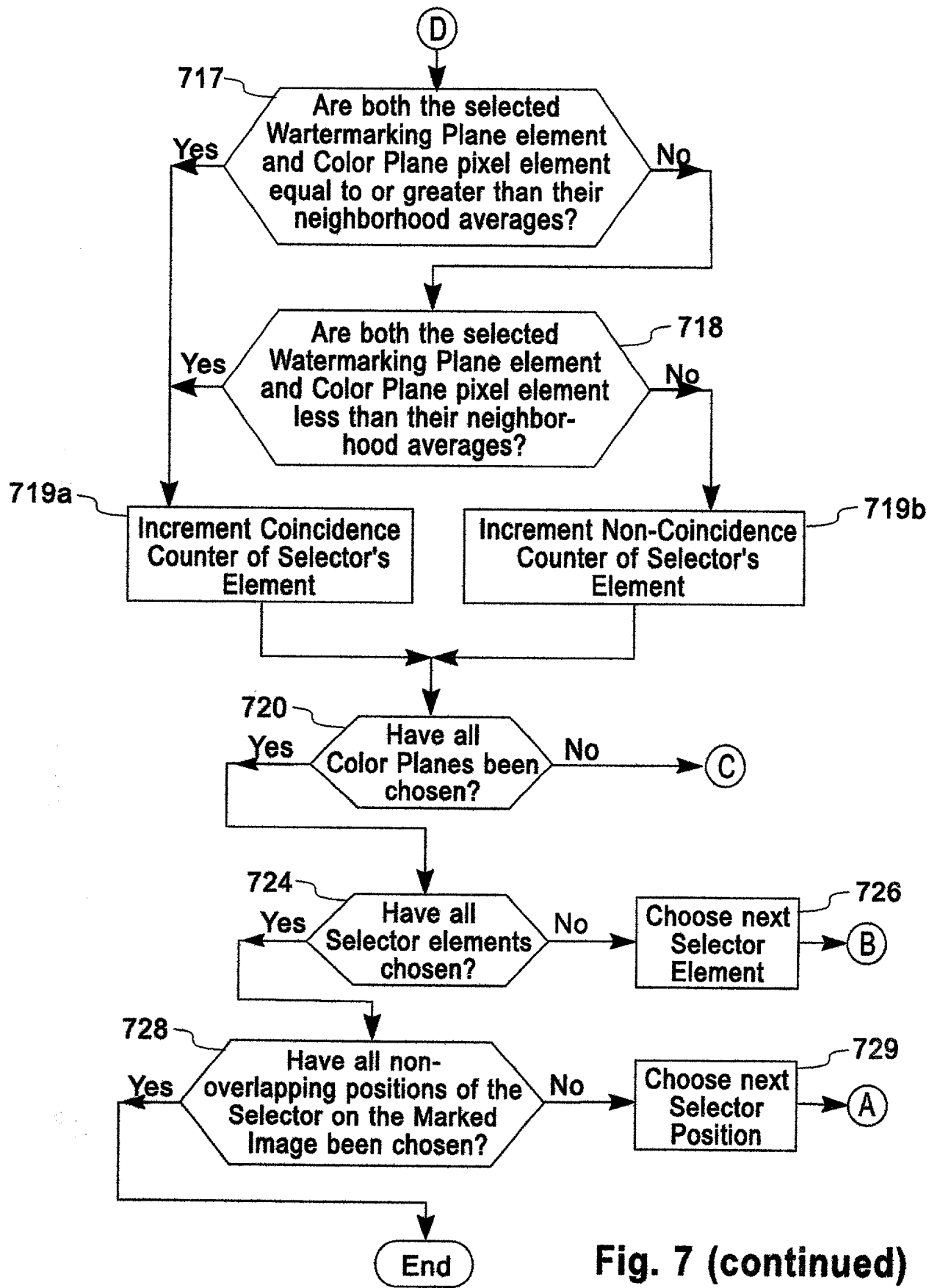
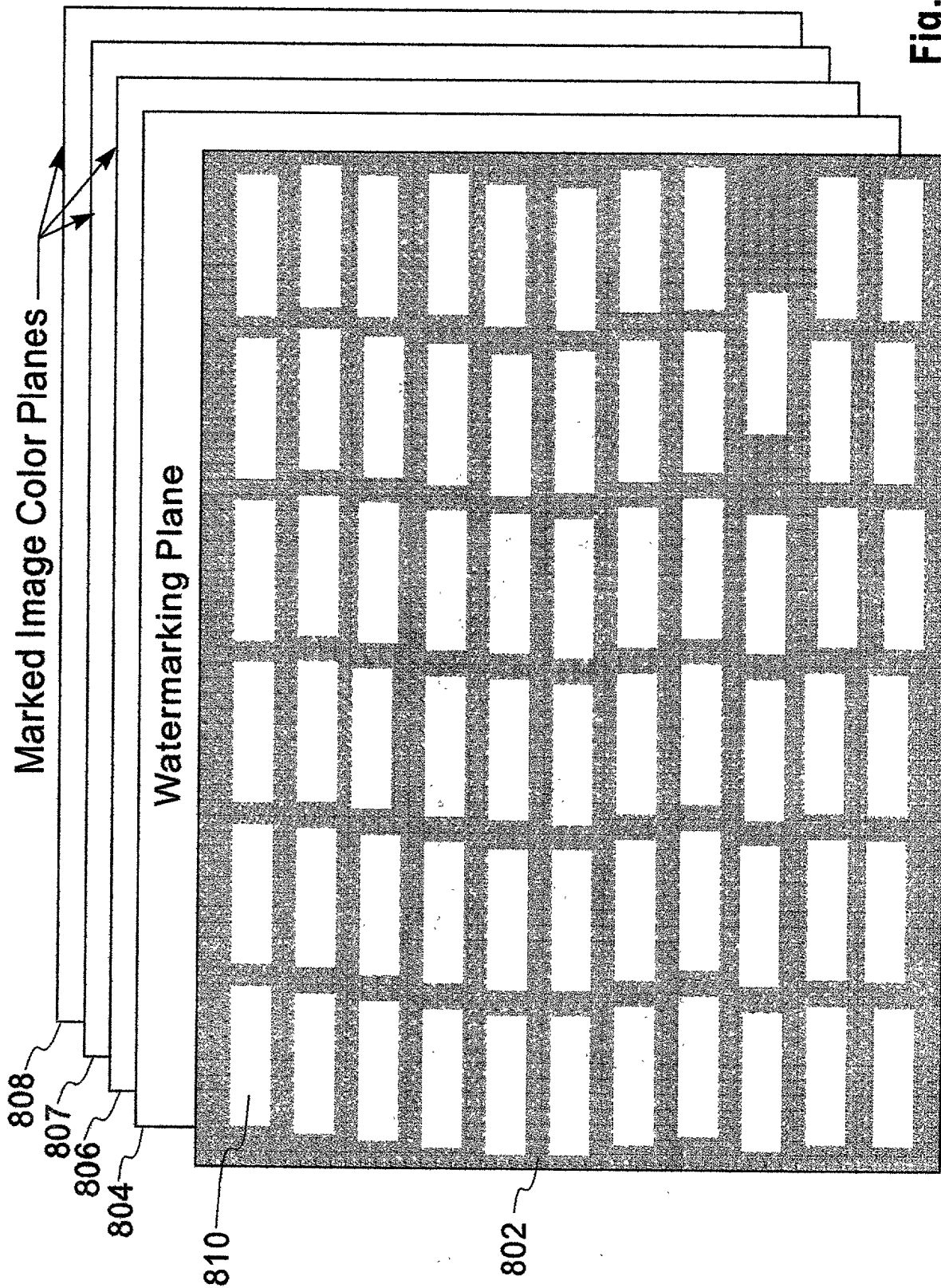


Fig. 7 (continued)

Fig. 8

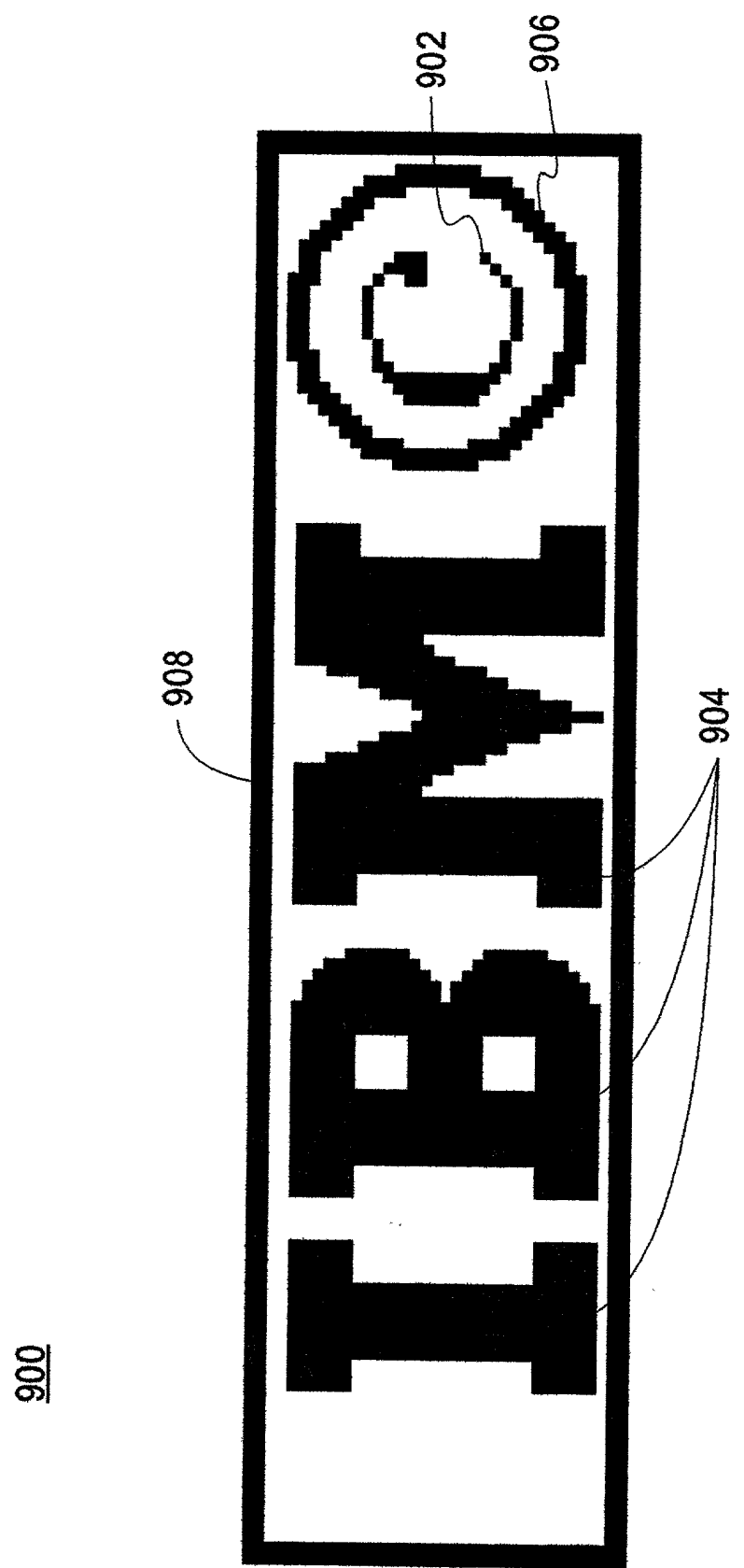


Fig. 9

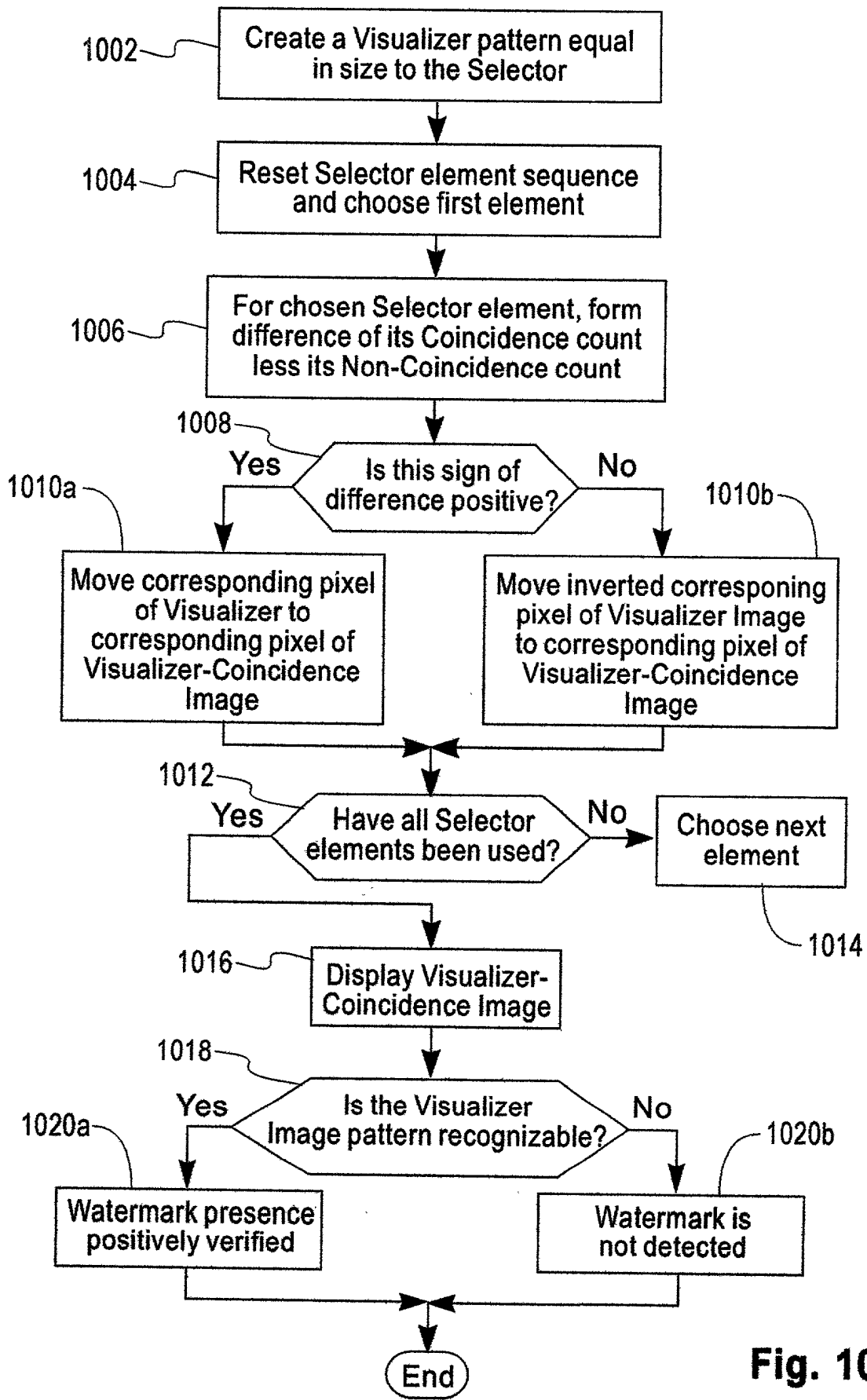


Fig. 10

11/19

Braudaway et al.
L.P.H. YOR019960153US4

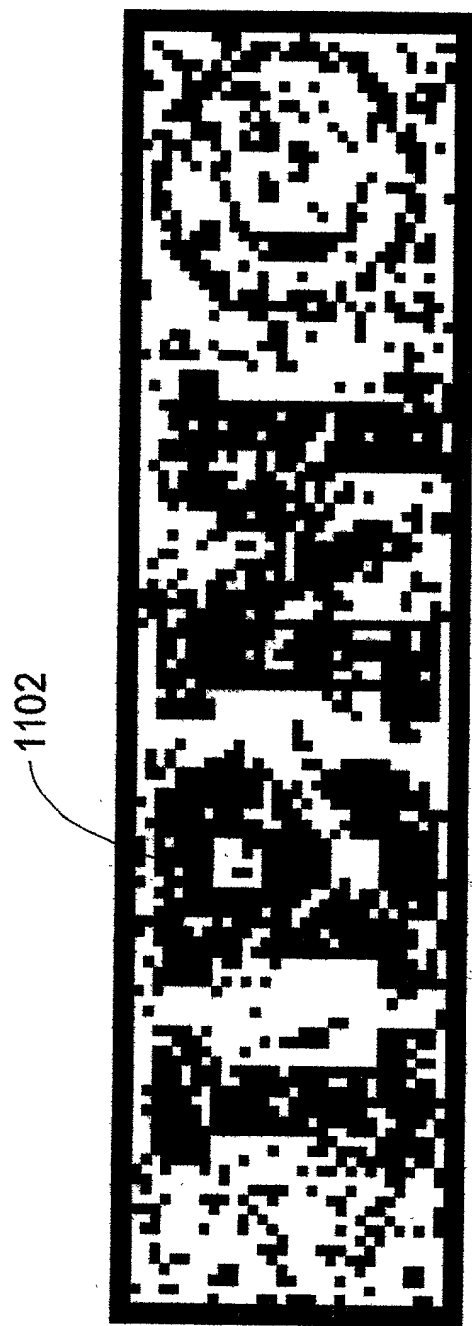


Fig. 11

12/19

Braudaway et al.
L.P.H. YOR019960153US4

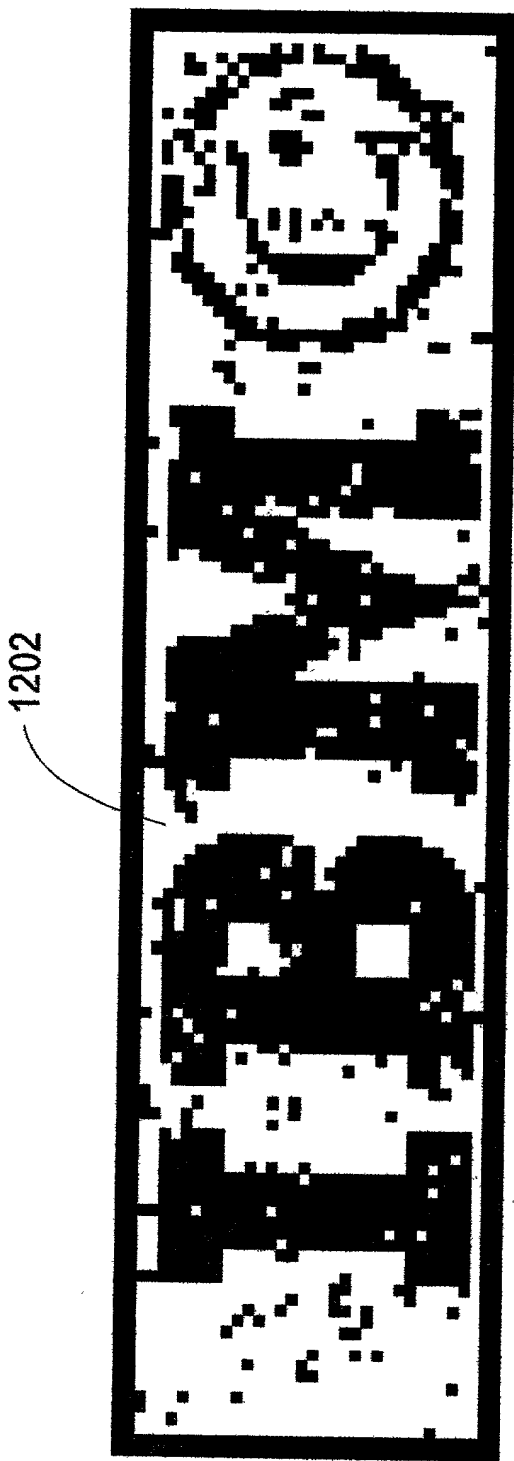


Fig. 12

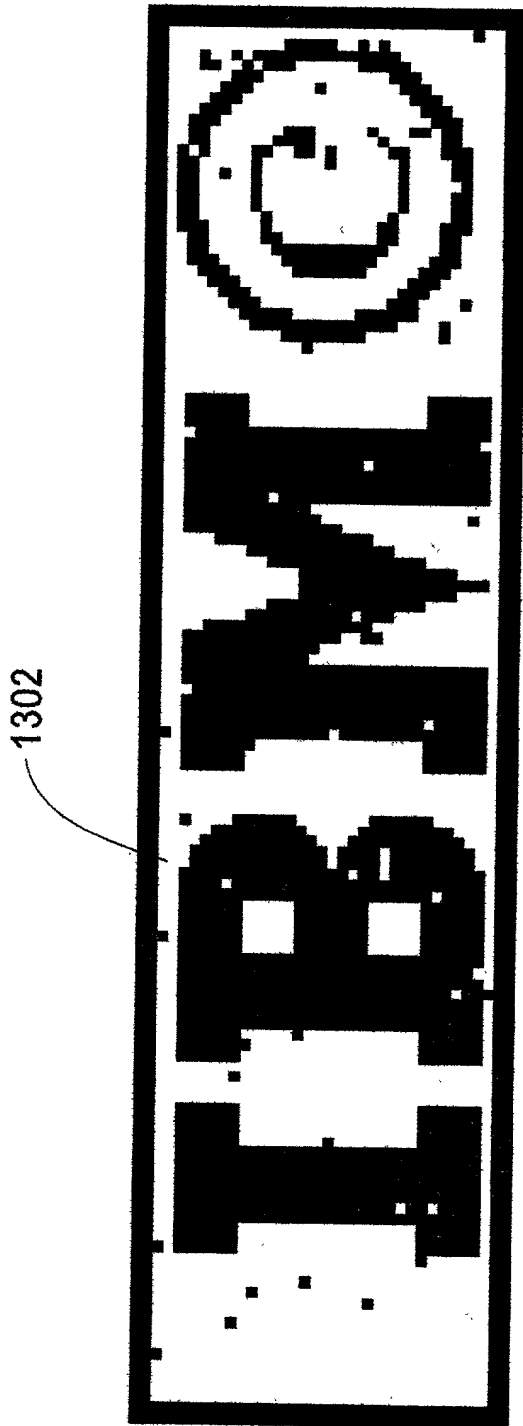


Fig. 13

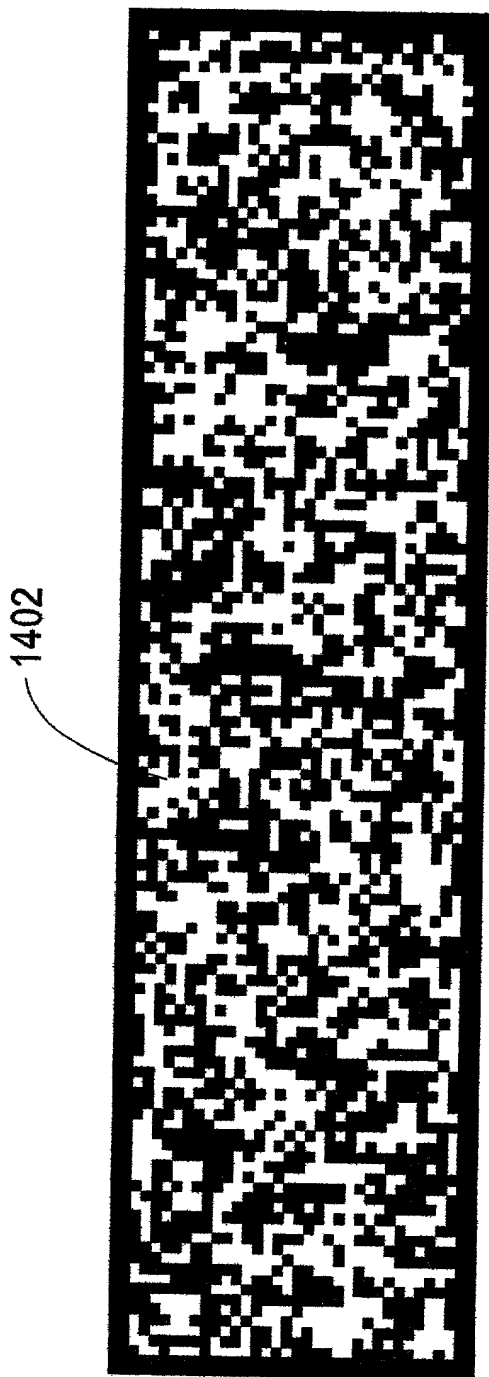


Fig. 14

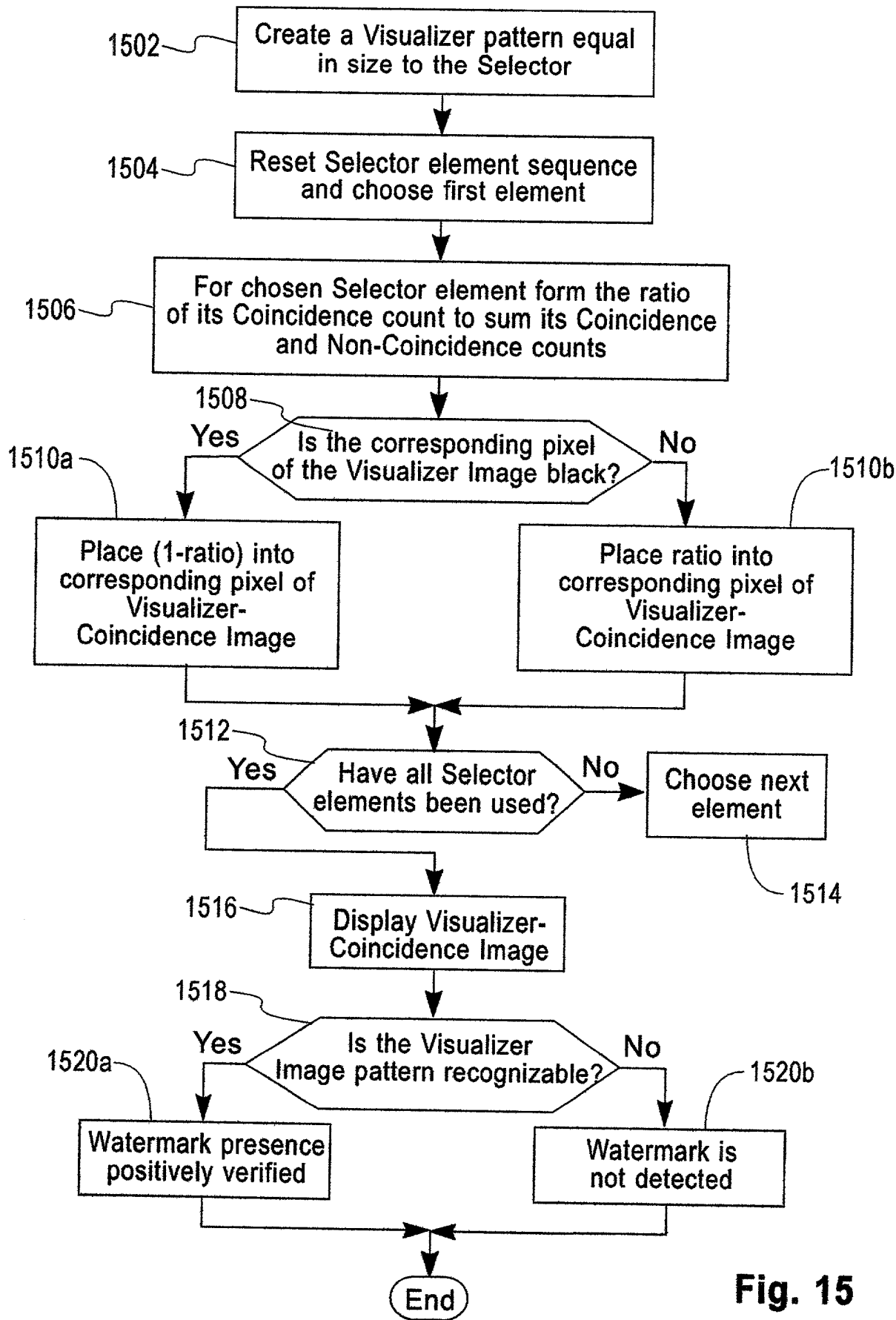


Fig. 15

16/19

Braudaway et al.
L.P.H. YOR019960153US4

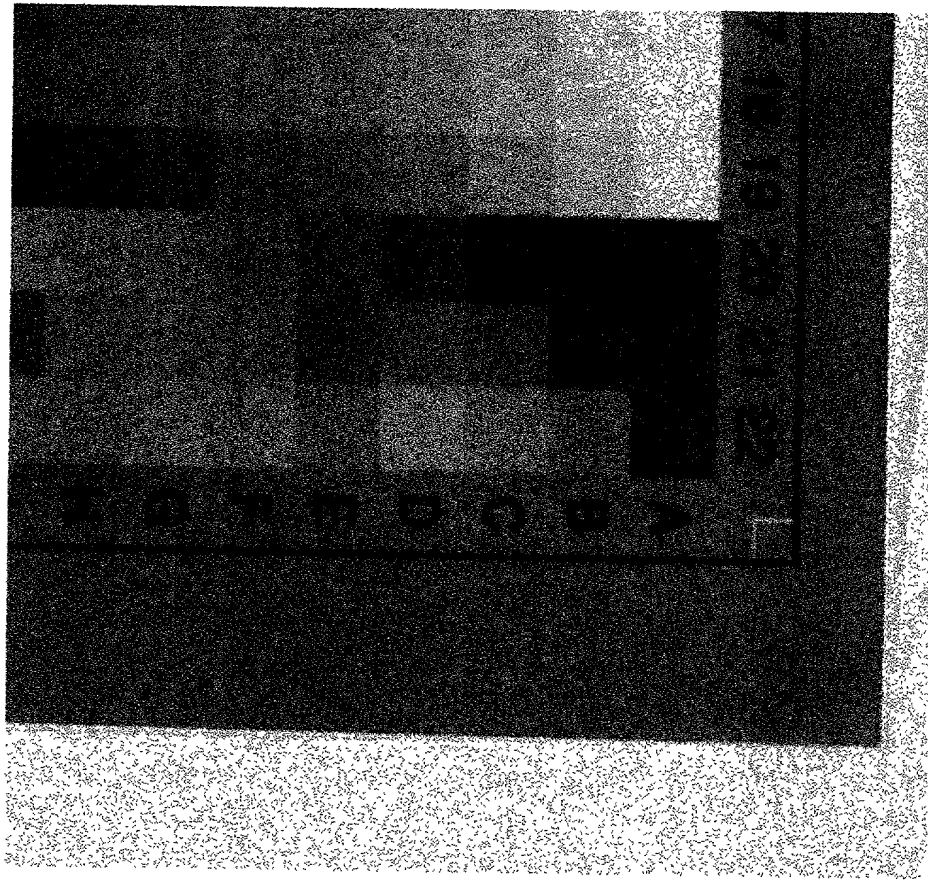


Fig. 16

17/19

Braudaway et al.
L.P.H. YOR019960153US4

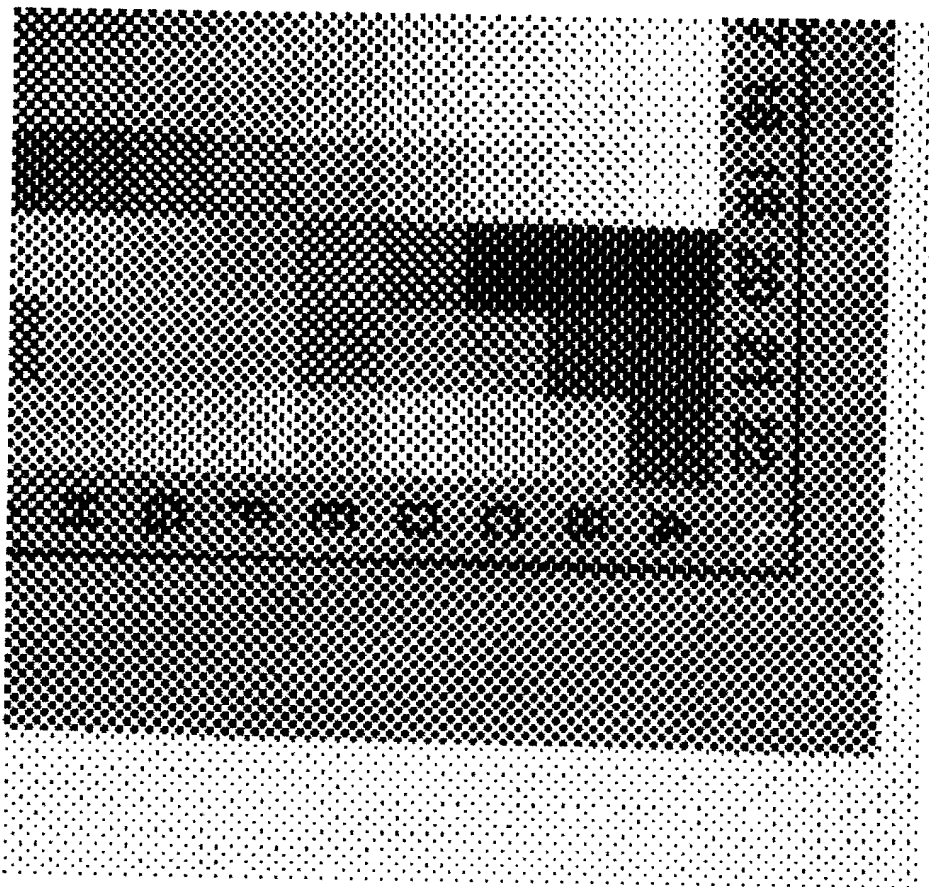


Fig. 17

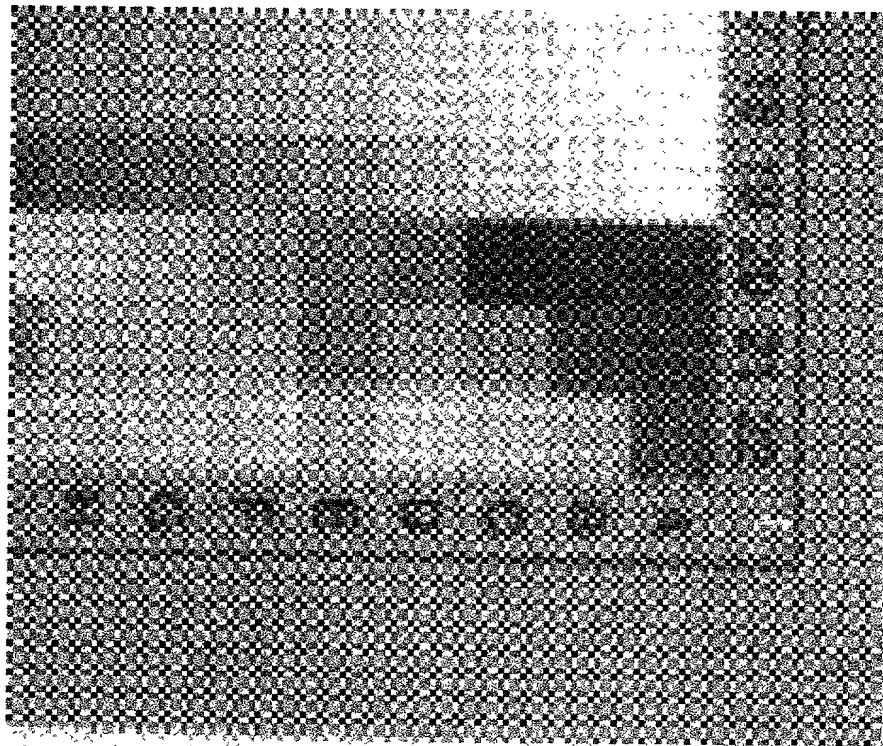


Fig. 18



Fig. 19



Fig. 20



Fig. 21